

Fig. 1

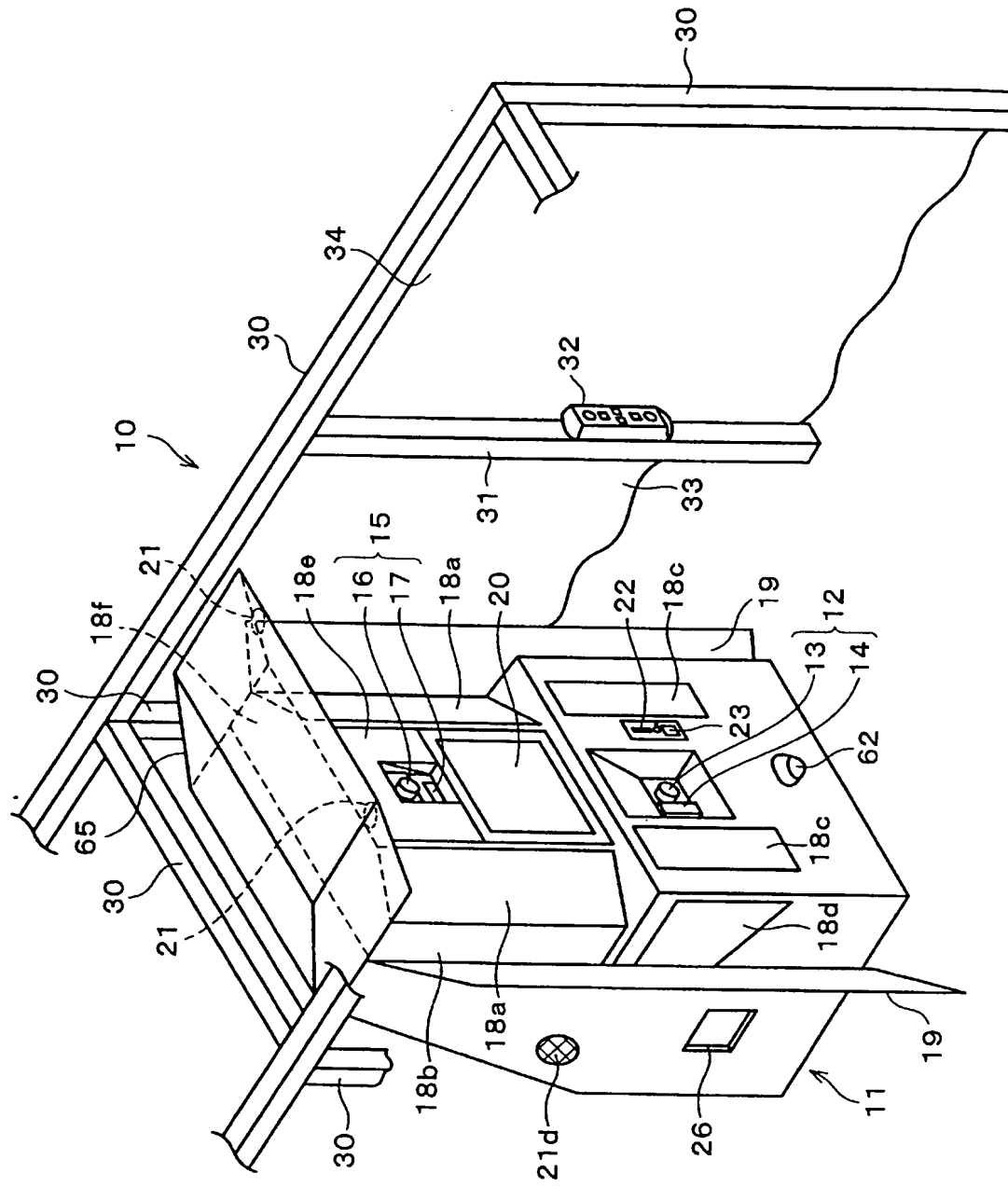
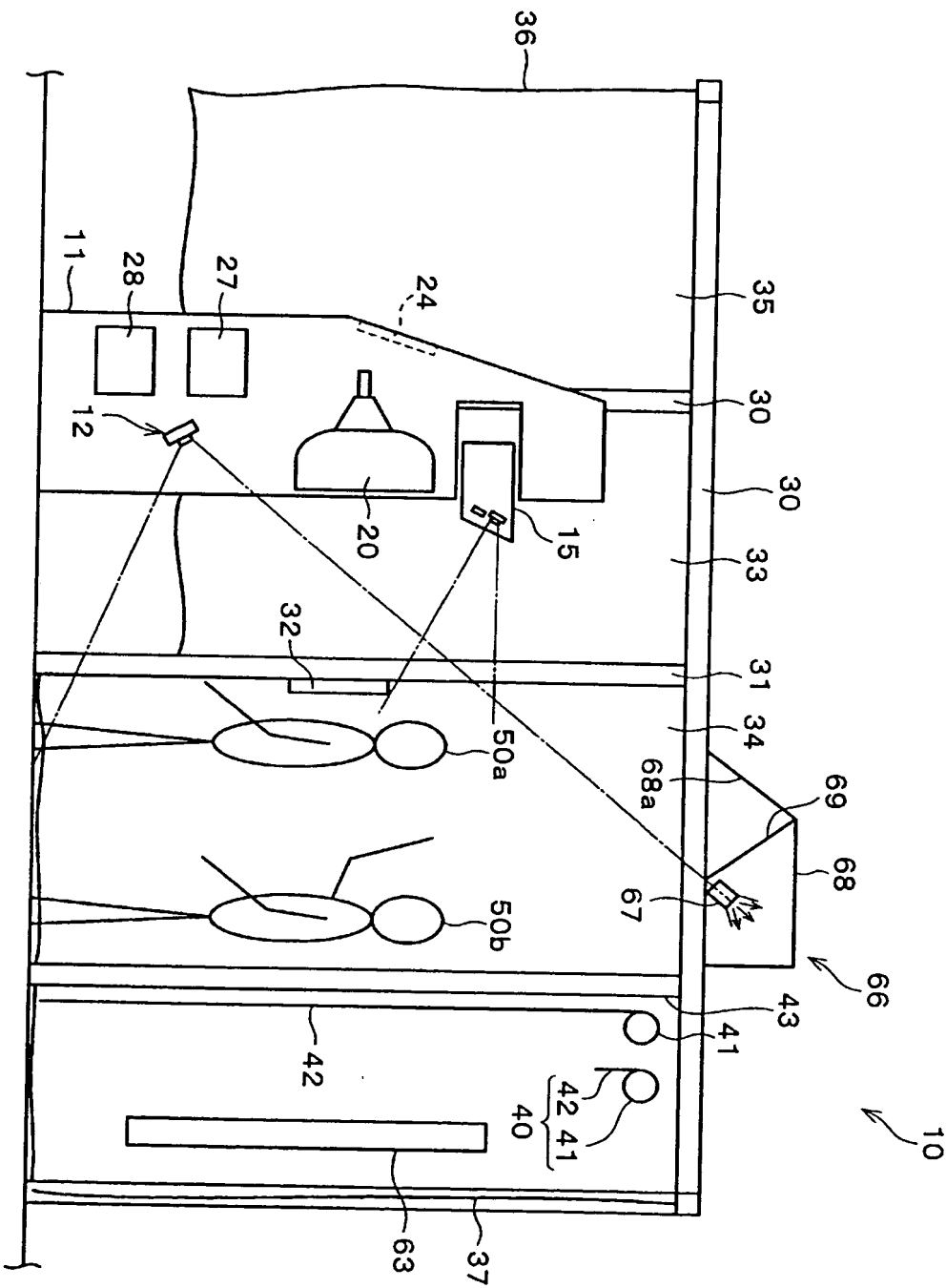


FIG. 2

FIG. 3



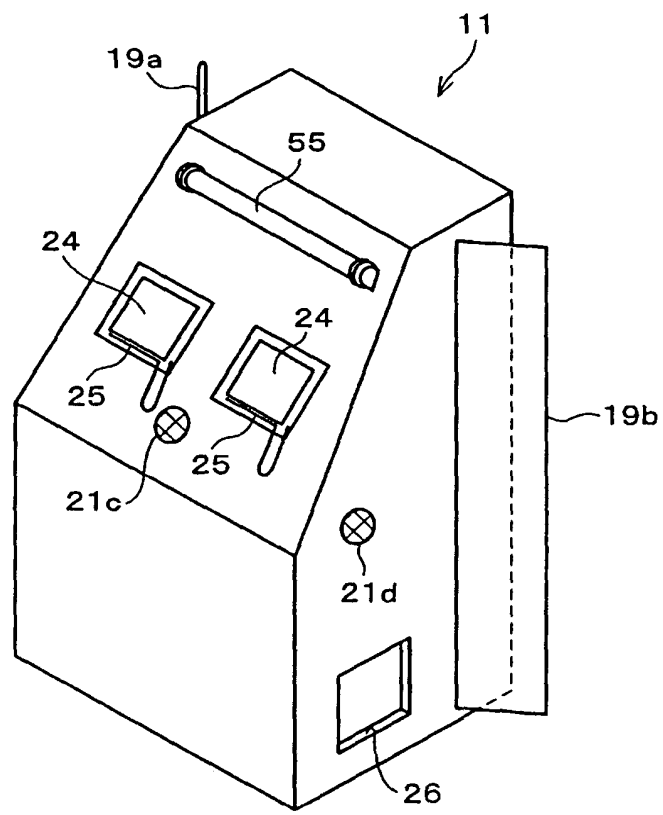


FIG. 4

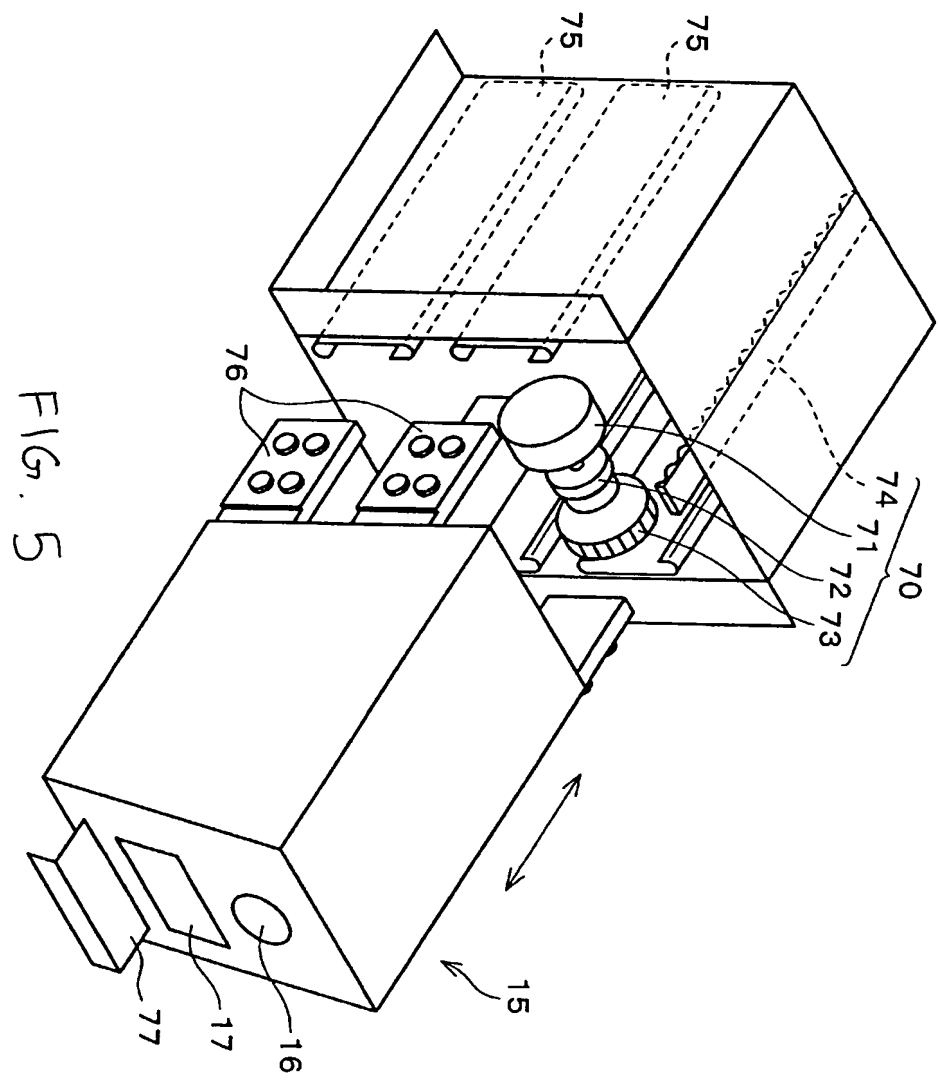


FIG. 5

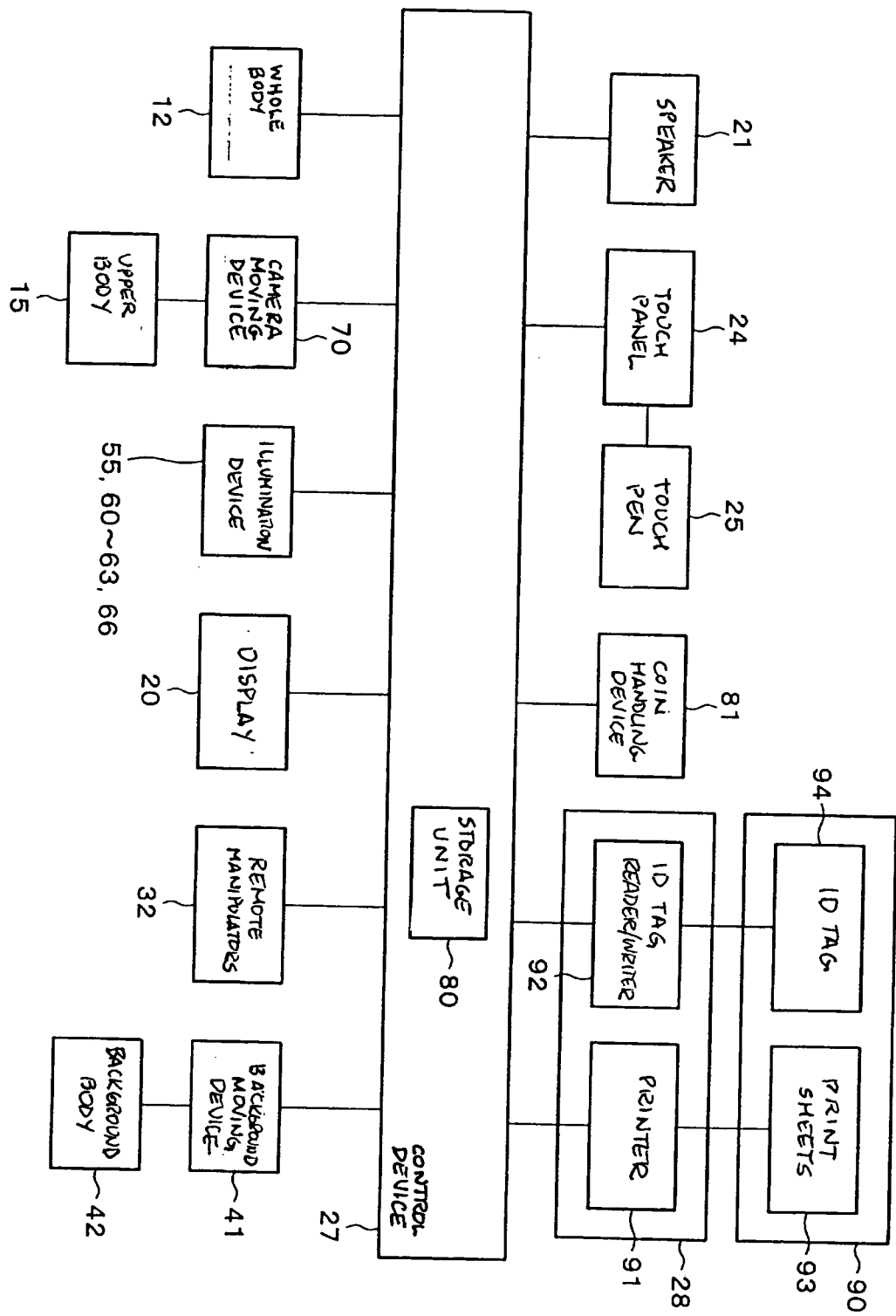


FIG. 6

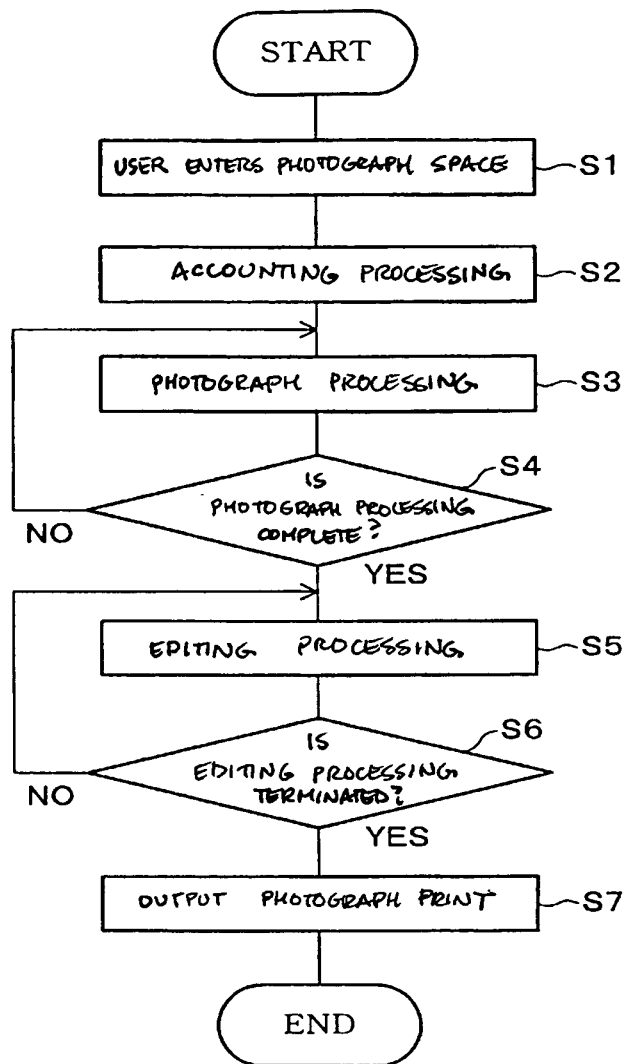


FIG. 7

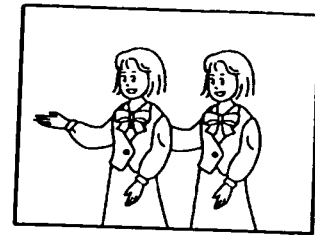
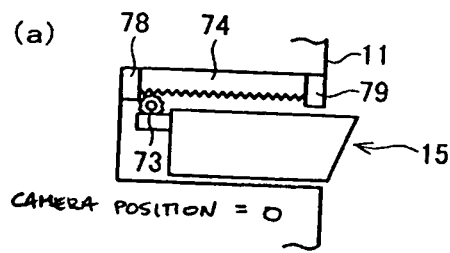


FIG. 8A

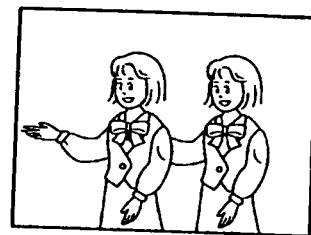
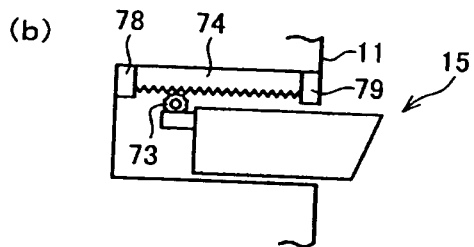


FIG. 8B

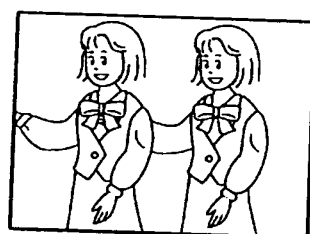
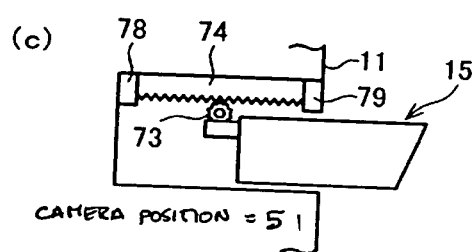


FIG. 8C

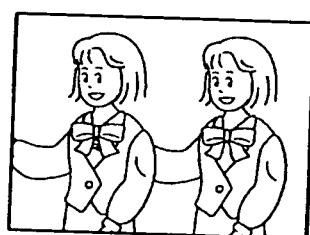
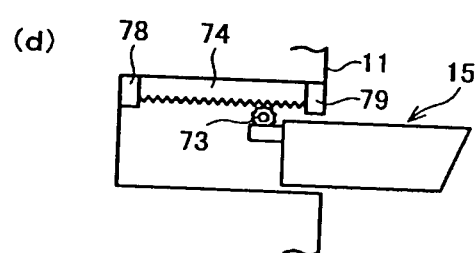


FIG. 8D

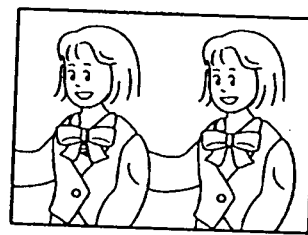
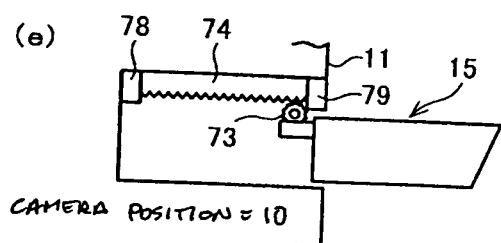
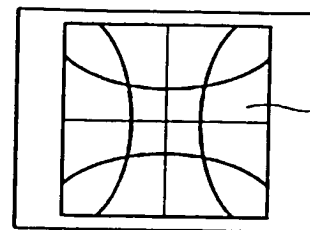
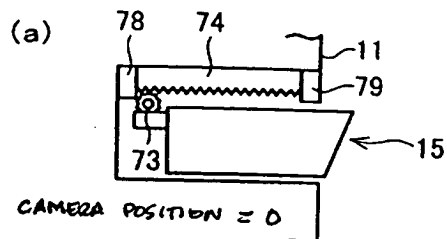


FIG. 8E



CONCAVE MIRROR
PROCESSING

FIG. 9A

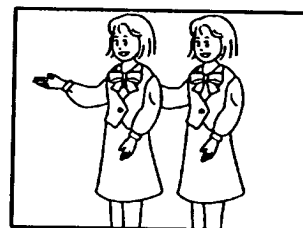
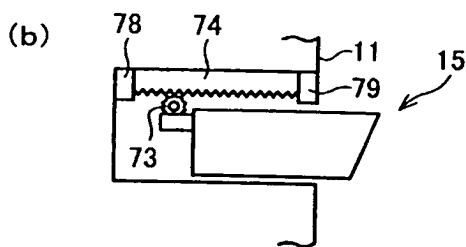


FIG. 9B

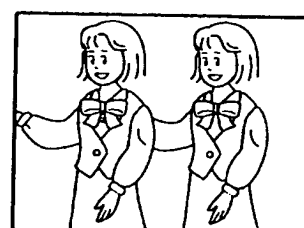
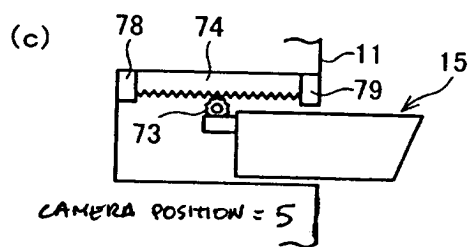


FIG. 9C

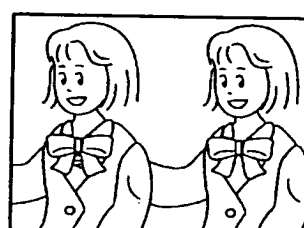
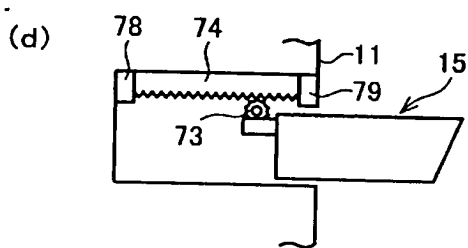
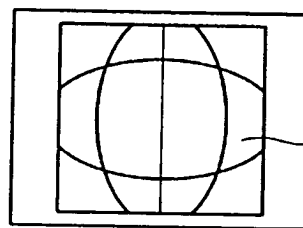
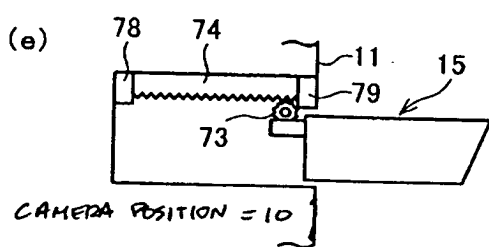


FIG. 9D



CONVEX MIRROR
PROCESSING

FIG. 9E

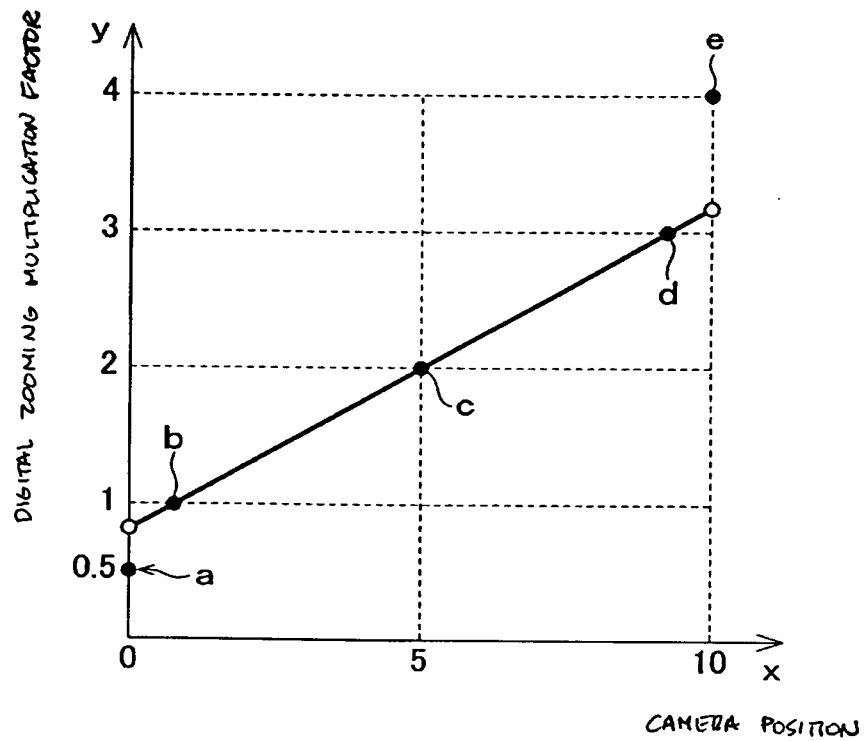


FIG. 10

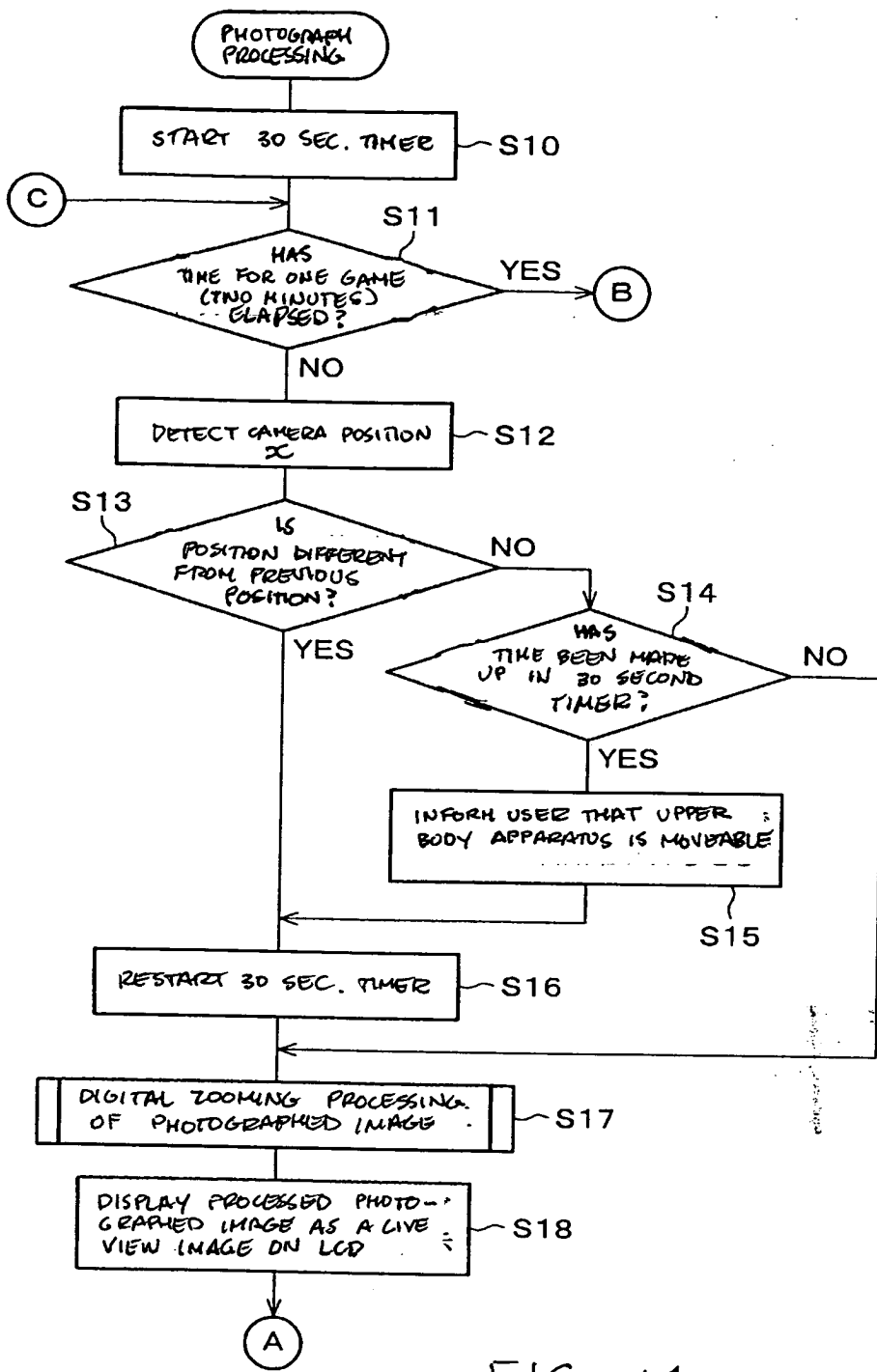


FIG. 11

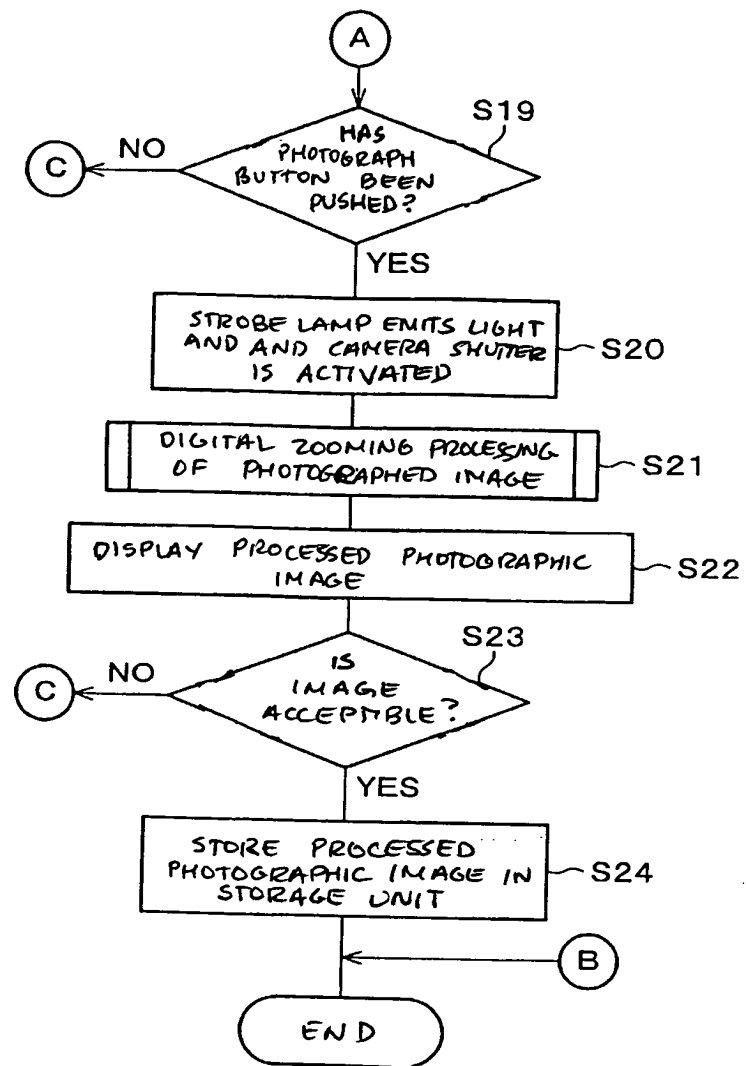


FIG. 12

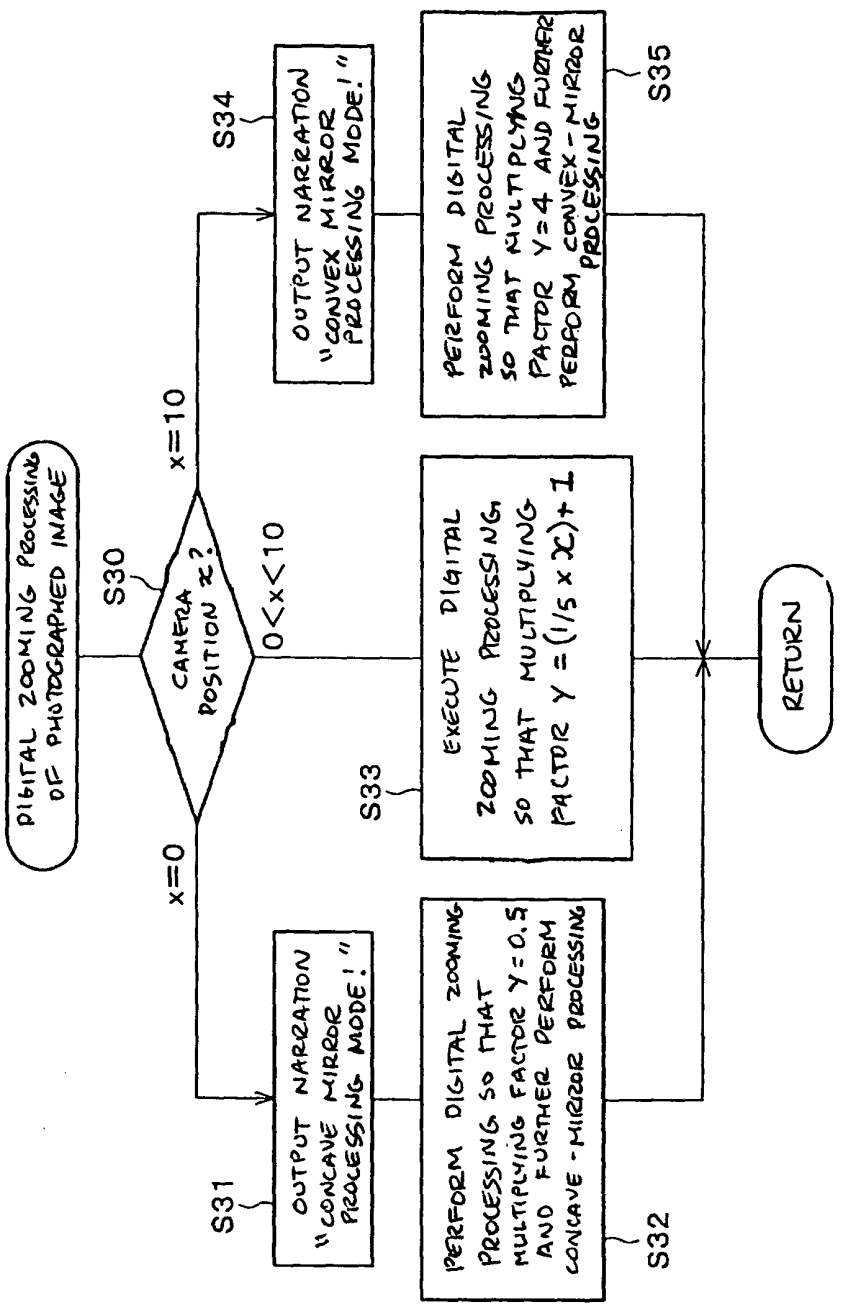


FIG. 13

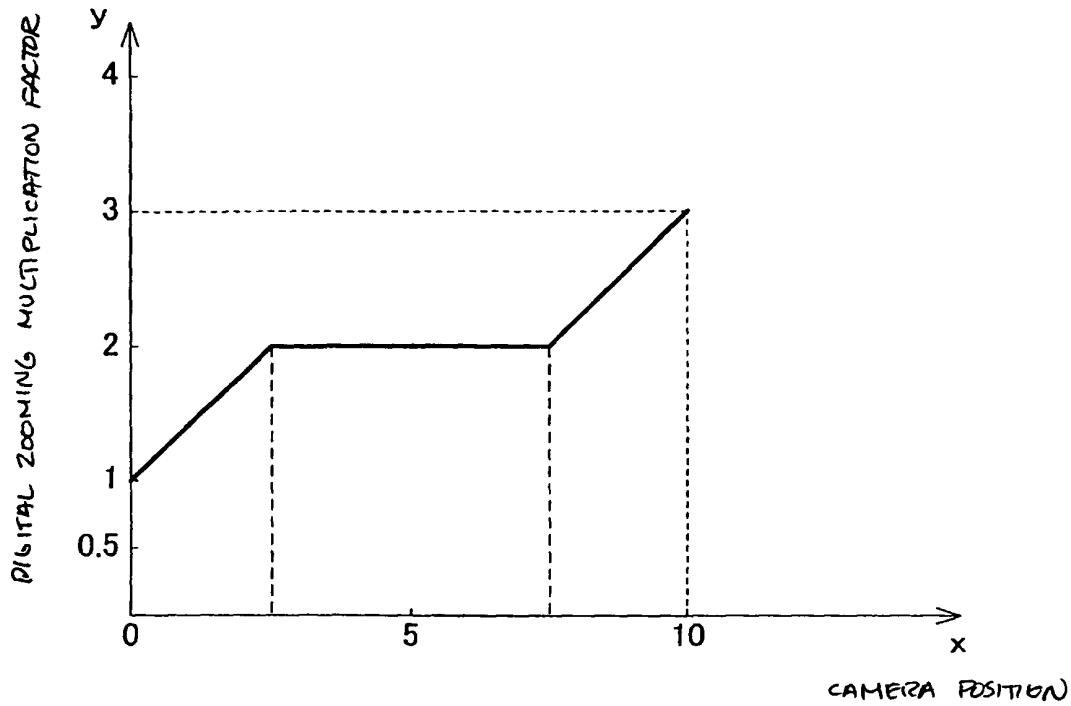


FIG. 14

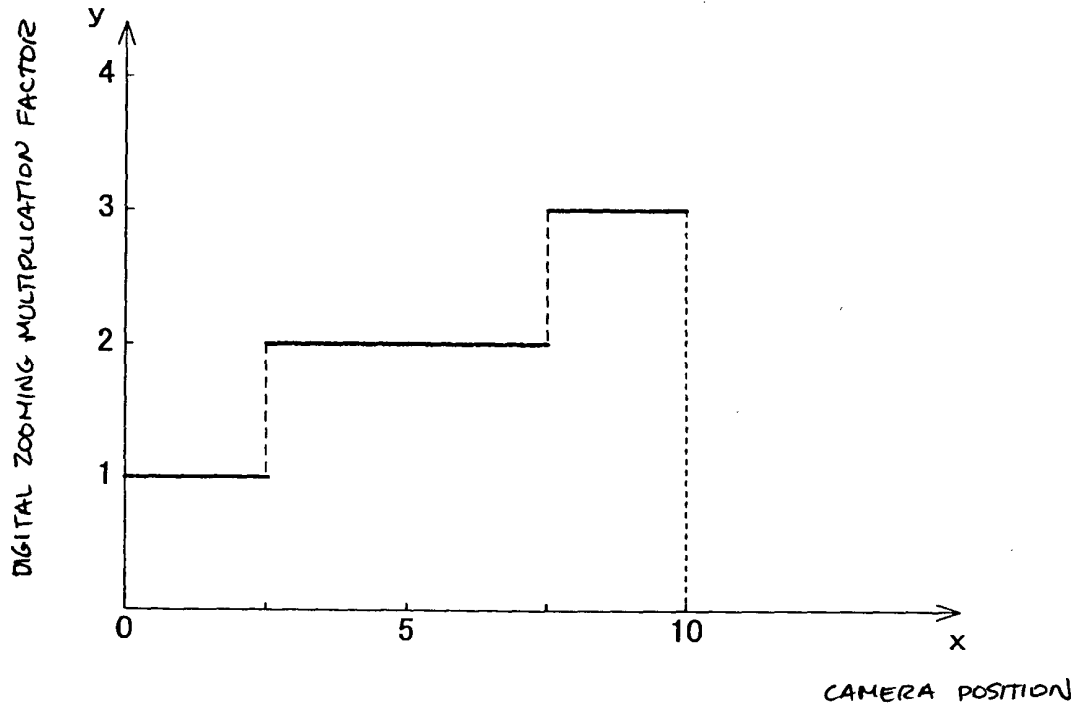


FIG. 15